

I-10 鉄筋コンクリート部材のくり返しねじりにおける強度と変形

早稲田大学 神山一, ○国士館大学 松島博

(1) まえがき

コンクリートの材料または部材としての疲労については、従来多くの研究成果が発表されてはいるが、そのほとんどが圧縮や曲げに関するもので、せん断やねじり疲労の研究は設計上重要な問題であるにもかかわらず皆無に等しい。

そこで、ねじり疲労について明らかにするために、無筋および鉄筋コンクリート部材に対して、ゆっくりした速度で各種荷重レベルのくり返し片ねじりを加える実験を行なっている。その結果に基いて、部材の強度と変形を明らかにするための内部釣合機構の変化の状態について、静的ねじりの場合との対比的考察を行なった。現在のところ実験はまだ初期の段階となって、ここで述べる考察の結果についてもさうに検討を重ねるべきものがある。

(2) 実験の概要

試験体は表-1の通りで、その断面形状と寸法を図-1に示す。

荷重は、油圧式自動制御型ねじり疲労試験機を用いて片ねじりを加えた。

荷重レベルは、その最大値をC-C'小角発生ねじりモーメントの40~90%の間で各種の段階に定め、最小値は常に零とした。

載荷速度は、ねじりせん断応力度の上昇を毎秒約 1 kg/cm^2 とした。C-C'小角の発生と発達を追跡し、適宜のくり返し回数ごとにねじり小角とC-C'小角幅および鉄筋のひずみを測定した。

表-1

正方 形 断面	(20× 20 cm)	荷重 レベル (%)*	材令 (日)	コンクリート強度 (kg/cm^2)			
				σ_c	σ_{tu}	σ_b	$E(10^5)$
静的	A - 1 A - 2 A - 3	無筋	192				
			196	415	29.0	54.0	3.76
			199				
的	E - 1 E - 2 E - 3	鉄筋	69				
			69	392	25.4	39.5	2.83
			69				
動的	I - 3 H - 2 H - 3 H - 4	無筋	85	260	408	29.0	47.4
				205			
			80	208	412	29.0	53.7
				207			
	F - 1 F - 2 C - 1** C - 2**	鉄筋	75	162			
				284	435	25.6	40.9
			70	63	377	28.3	42.2
				73			
	E - 2 I - 4 G - 1** G - 2	筋	114	427	24.3	27.9	2.50
			65	254	408	29.0	47.4
				62	444	26.5	46.9
			60	67	415	29.0	53.1
長方形 断面	I - 1 C - 1**	無筋	55	250	408	29.0	47.4
				63	377	28.3	42.2
			40				
	G - 2 A - 1	鉄筋	40	137			
			800	137	506	34.9	45.4
30 cm	A - 2 A - 3 静的 的 クリップ	筋	80	153	*	*	*
実験結果							

* : M_t/M_{tc} or τ_t/σ_{tu} ** : 端部破壊等のため資料得られず。

(3) 釣合機構の変化

部材の強度および変形の正しい評価のためには、まず内部釣合機構とその変化の状況を明らかにしなければならない。

くり返しねじりをうける鉄筋コンクリート部材の内部釣合機構は、ある荷重レベル以上のとき、くり返し回数の増加に伴なって次の順序で変化する。

a) 全断面有效の状態 C.G.から発生までは全断面有效で外力モーメントに抵抗し、その間の強度と変形は弾性論によつてほど正確に評価できる。鉄筋の応力度は低く、その貢献は換算断面積を用いて評価することができる。

b) トラス型釣合状態 断面長

辺側の面の中央付近に発生した斜めC.G.が発達して全周にせん状に連続したとき、この状態となる。このとき、軸方向鉄筋と斜め直交するスターラップの負担する引張力と、コンクリートの負担する圧縮力で、外力ねじりモーメントに抵抗する。

c) 斜め曲げ(Skew Bending)型釣合状態¹²⁾ 部材軸に対して傾斜した面に関する斜め曲げの状態となり、ある面が引張側に、その反対の面が圧縮側となる。このときの部材の強度と変形は、外力の釣合とC.G.の条件に基づいて評価することができます。

d) ねじリプラスチックヒンジの形成と終了

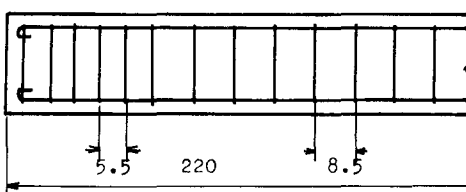
ねじリプラスチックヒンジ(Torsional Plastic-hinge)が形成され、急速に変形が増加し、ヒンジ終了とともに部材は破壊する。

C.G.モーメント以下のくり返しひずみの場合は一般に破壊への進行が緩慢で、このようすa)～b)～c)～d)の変化を各段階ごとに明らかに識別できる。従つて、破壊強度設計法の立場から部材の強度と変形を評価するための基準は、動的ねじりの場合も静的ねじりの場合と同じく、c)の斜め曲げ型釣合状態にとまるのが適当であろう。

静的ねじりの場合の釣合機構の変化は、上述の動的の場合と比較して本質的な相違はない。しかしねじりモーメントが単調増加するときはC.G.から発生から破壊への進行が急速なために、b)のトラス型釣合状態が瞬時に経過して、あたかもa)～c)～d)の順序をとるよう見えることが多い。

これらa)～d)の経過はC.G.から発生とその発達状況から観察することができるが、さらに、ねじり角、C.G.幅とその本数および鉄筋のC.G.のそろぞれの測定値に次のように現れていく。

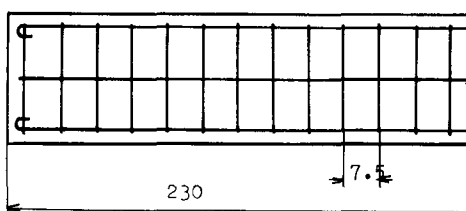
Square Cross Section



longitudinal bars : 4 D 13, stirrups : Φ 9

(unit : cm)

Rectangular Cross Section



longitudinal bars : 6 D 16, stirrups : D 13

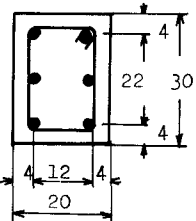


図-1

斜め曲げによるねじリプラスチックヒンジによるねじリ

① ねじ小角 正方形断面試験体(F-1)について、くり返し回数Nとねじ小角θとの関係を図-2に示す。こ小を理想化すれば図-3の通りで、各釣合状態とそれらの間の移行について明瞭に認められる。また各段階ごとの剛度(図-3中の $\tan \theta_1 \sim 7$)を計算すれば次の通りである。この数字は一回のねじりによるねじ小角の増加量を示し、これによれば各段階ごとの安定度を判断できる。

a) ~ b) の移行 : $\tan \theta_1 = 8.76 \times 10^{-9}$ rad/cm/cycle, b) の状態 : $\tan \theta_2 = 6.85 \times \cdot$

b) ~ c) の移行 : $\tan \theta_3 = 13.59 \times \cdot$ c) の状態 : $\tan \theta_4 = 5.42 \times \cdot$

d) の状態 : $\tan \theta_5 = 112.73 \times \cdot$, $\tan \theta_6 = 40.00 \times \cdot$, $\tan \theta_7 =$ 測定できず。

こ小によれば、c) の斜め曲げ型釣合状態が最もよく安定している。長方形断面試験体 C-1 の N-θ 曲線を図-4に示す。

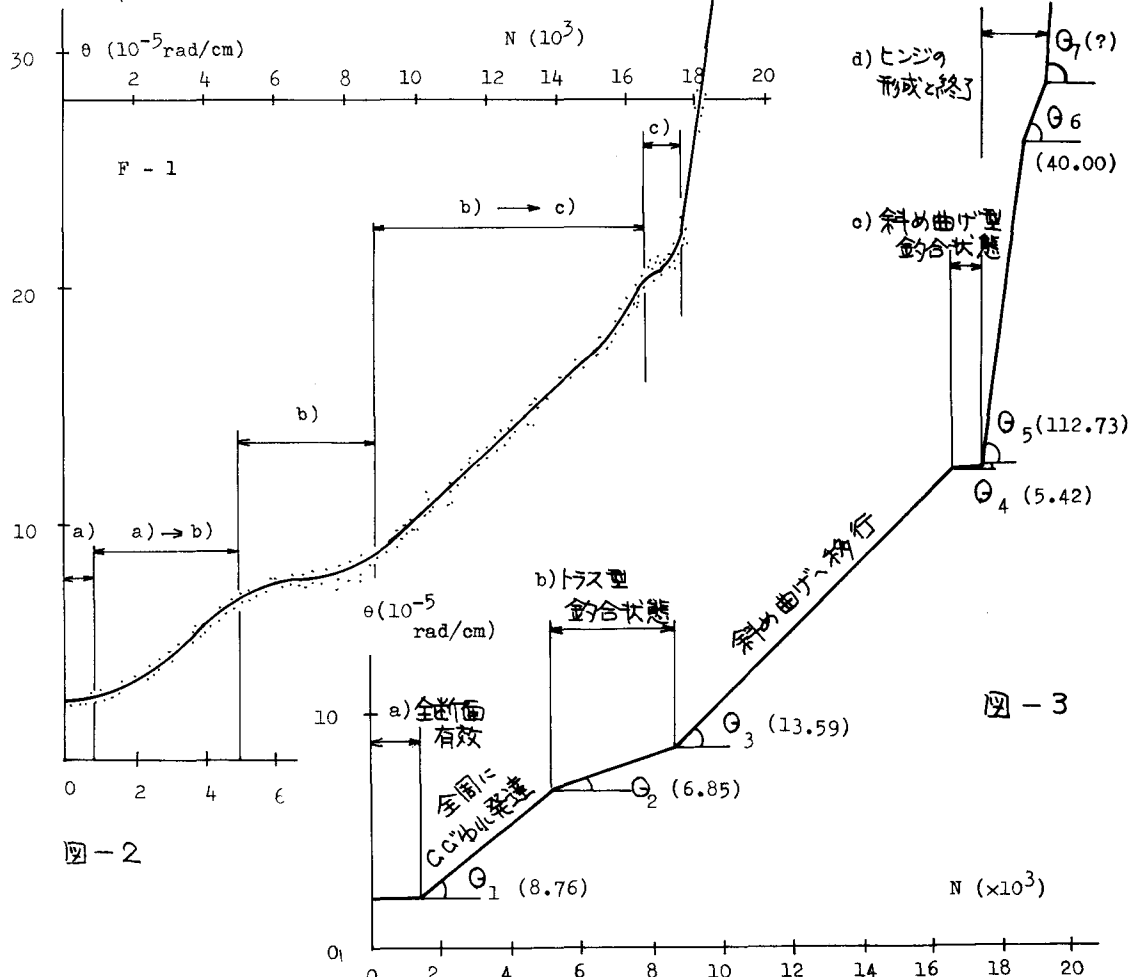


図-2

図-3

② CCA小孔の本数と合計幅 正方形断面試験体(F-1)について、各面上中央軸線とCCA小孔の交点における本数と合計幅の変化を図-5に示す。こ小によれば、b) ~ c) 移行時の合計幅は斜め曲げ圧縮面では大きい変化がないのに、引張面のものは著しく増加している。とくに d) の状態ではこの傾向が明らかで、こ小孔は斜め曲げ破壊の様相を示している。CCA小孔本数は、b) ~ c) の状態の間に一定値に達し、その後は増加していない。

長方形断面試験体(C-2)について、CCひびき本数と合計幅の各面での平均値を図-4に示す。合計幅の増加は各釣合状態では少なく、それより移行間には著しい。本数については(F-1)と同様の傾向が認められる。

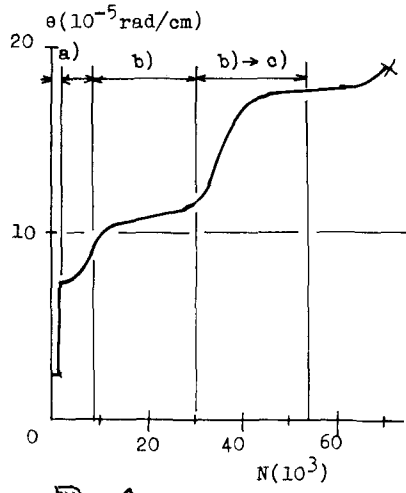


図-4

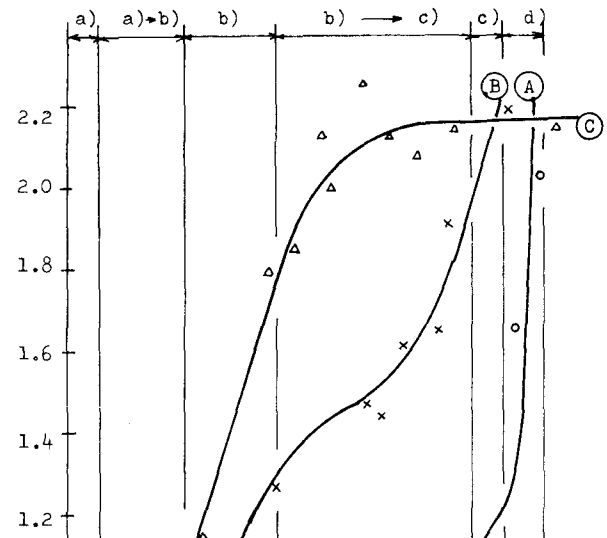


図-5

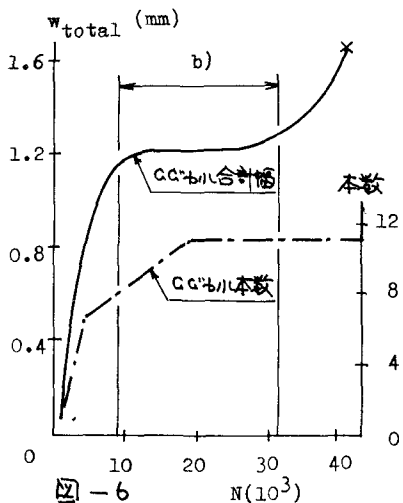


図-6

(3) 鉄筋のひずみ C-2について、鉄筋ひずみの変化をスター・ラップと軸方向鉄筋ごとに図-7に示す。軸方向鉄筋についてみれば、釣合状態にあるときひずみ増加量は少なく、移行間では多いが、これはCCひびき合計幅やねじり角の場合と同様である。

(4) CCひびき強度および変形

① CCひびき強度 CCひびき発生時のS-N曲線を図-8に示す。ここで、SはCCひびき発生ねじりモーメントに対する荷重比である。この資料の範囲内では $S = 60 \sim 65\%$ の間に変曲点が認められるが、低荷重レベルでのクリープの影響²⁾や、コンクリートの変形特異点等の問題を含めて、さらに検討と重ねる必要がある。

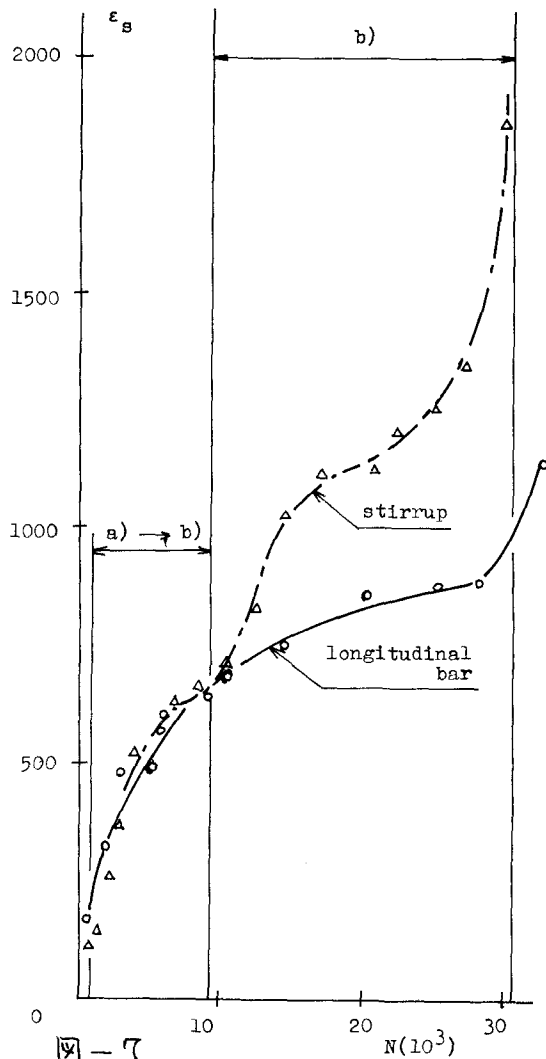


図-7

② 变形 荷重のくり返しに伴って変形は増加し、ねじり剛度は低下する。

少數回のくり返しとき、無筋部材の剛度低下の一例は図-9通りである。無筋部材のねじり剛度を $M_t / \theta = \beta b^3 h \cdot G$ で表わせば、この剛度低下はコンクリートの微少破壊に基づく G の減少によるものと考えることができる。ここで、荷重レベルが 65 % のとき、 $G_{1\text{回目}} : G_{2\text{回目}} : G_{3\text{回目}}$ の比は 1.00 : 0.54 : 0.41 であった。

多數回のくり返しとき、無筋および鉄筋コンクリート部材の、荷重レベルによる剛度低下の相違は図-10通りであった。

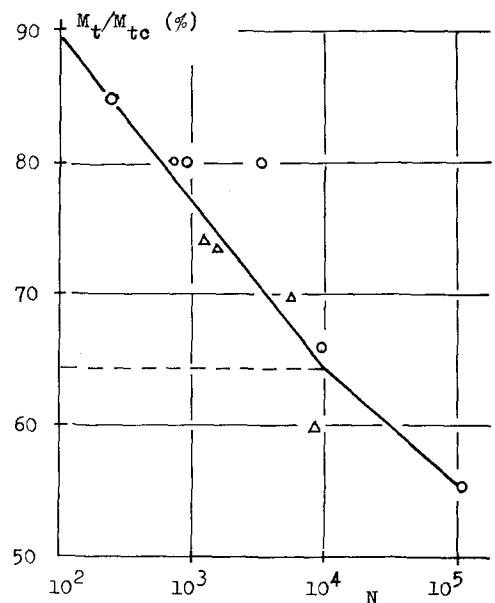


図-8

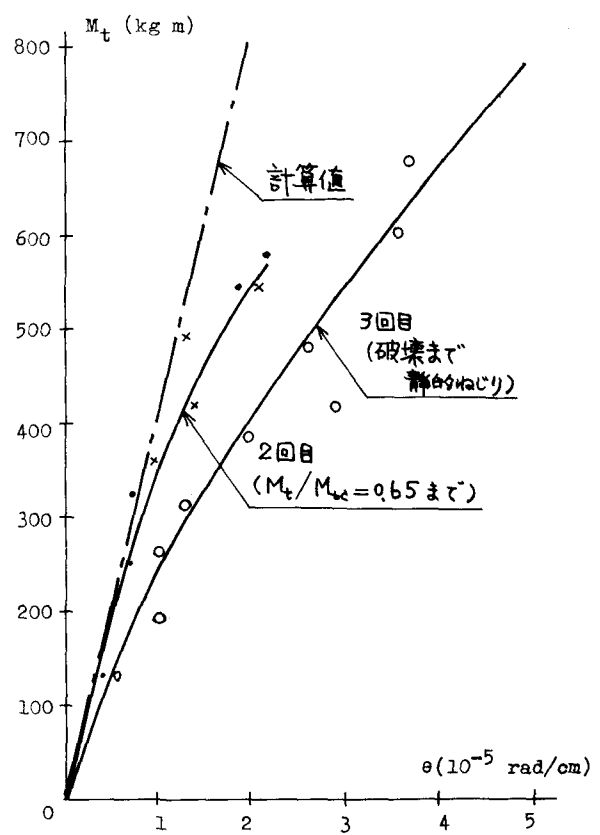
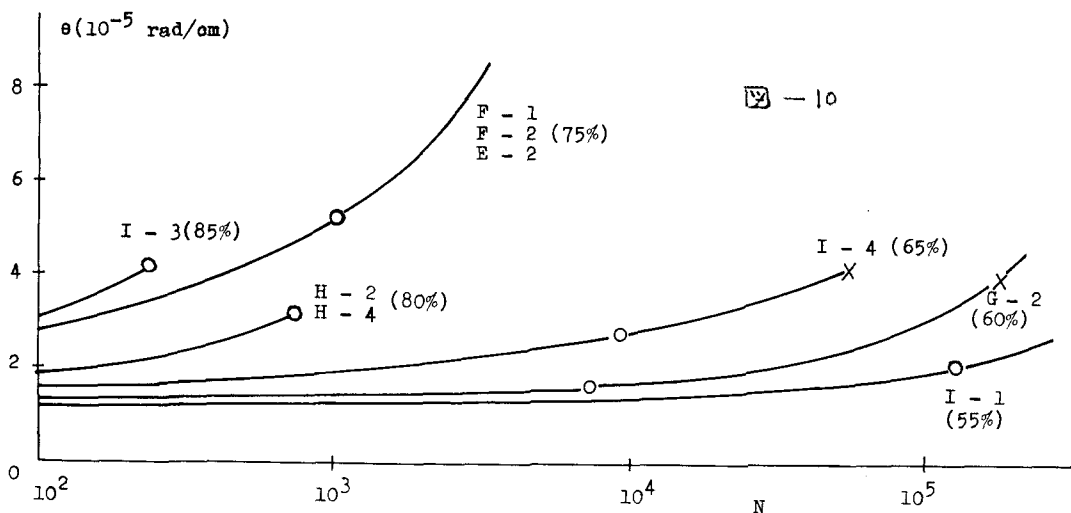


図-9



(5)まとめ

限られた実験資料の範囲内ではあるが、次のような結論が得られた。

① ある荷重レベル以上のくり返しねじりをうけるとき、鉄筋コンクリート部材は、全断面有效の状態、トラス型釣合状態および斜め曲げ型釣合状態を経て、ねじりプラスチックヒンジが形成され、その終了とともに破壊する。

破壊に至るまでの内部釣合状態の変化は、静的ねじりと動的ねじりとで本質的な相違はない。しかし、その変化の進み方には明らかに小さな特徴があり、動的ねじりの場合はその変化を各段階ごとに区別して、一般的な観察によるほかに、ひびわれの幅と本数、ねじり角および鉄筋のひずみから認めることができる。これらに対して静的ねじりの場合はひびわれ発生から破壊への進行が急速で、とくにトラス型釣合状態が認め難いことが多い。

② ねじり疲労における終局限界状態は、静的ねじりの場合と同様にねじりプラスチックヒンジの終了時と定義することができる。この状態に対応する部材の最大耐荷能力を評価するためには、ヒンジの形成と終了について明らかにする必要がある。しかし、ねじりプラスチックヒンジの釣合機構が十分に解明されていない現時点においては、近似的にその直前の状態である斜め曲げ型釣合状態に基づく部材の強度と変形を基準にとるのが適当であろう。そして、破壊強度設計法の立場からは、これらの強度と変形を終局状態に対応するものと考える。

③ ねじり疲労における強度と変形を正しく評価するためには、荷重レベルを含む各種要因と上述の各釣合機構の進行状態との関連性について、実験的により正確に把握することが必要である。各釣合状態におけるそれらの評価に対しては、静的ねじりの方法を準用しうるからである。

参考文献

- 1) 松島博：ねじりをうける鉄筋コンクリート部材の設計法に関する研究、土木学会論文報告集 No. 218, 1973 - 10
- 2) 藤田嘉夫、西堀忠信：繰返し荷重をうける鉄筋コンクリート部材の変形に関する研究、コンクリートジャーナル, Vol. 9, No. 5, May, 1971